

١٤٠٢



دانشگاه صنعتی اصفهان

دانشکده مهندسی مکانیک

تحلیل خستگی مجموعه سنبه و قالب‌های فرآیند شکل دهی گزن پین به روش اکستروژن سرد

پایان نامه کارشناسی ارشد مهندسی مکانیک
گرایش طراحی کاربردی

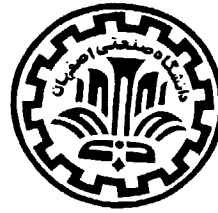
فریبرز کریمی طالخونچه ۱۳۸۲ / ۷ / ۲۰
تستیه مارک

استاد راهنمای

دکتر علیرضا فدایی تهرانی

۱۳۸۱

۴۸۶۵۱



دانشگاه صنعتی اصفهان
دانشکده مهندسی مکانیک

پایان نامه کارشناسی ارشد رشته مکانیک (طراحی کاربردی) آقای فریبرز کریمی طالعونچه
تحت عنوان

تحلیل خستگی مجموعه سنبه و قالب‌های فرآیند شکل دهی

گزن پین به روش اکستروژن سرد

در تاریخ ۱۳۸۱/۱۲/۲۱ توسط ~~کمیته تخصصی~~ زیر مورد بررسی و تصویب نهائی قرار گرفت.

دکتر علیرضا فدایی تهرانی

دکتر سید حمید هاشم الحسینی

دکتر بیژن برومند

دکتر سعید ضیایی راد

دکتر احمد رضا پیشه ور اصفهانی

۱- استاد راهنمای پایان نامه

۲- استاد مشاور پایان نامه

۳- استاد داور:

۴- استاد داور:

سرپرست تحصیلات تکمیلی دانشکده

تشکر و قدردانی

سپاس خدای را که حمد مختص ذات اوست.

بی شک گذارندن این دوره از تحصیل بدون همکاری و همراهی خانواده، اساتید، دوستان و همکاران ارجمند امکان پذیر نبود. لذا از خداوند متعال موفقیت و بهروزی این عزیزان را خواستارم.
لازم می داشتم از زحمات بی دریغ خانواده عزیزم که همواره در دوران تحصیل یار و مشوق بمنه بوده‌ام،
بی نهایت تشکر و قدردانی نمایم.

معلمان و اساتید تمام دوران تحصیلاتم حقی بزرگ بر من دارند که تا پایان عمر مرا وام دار این عزیزان می کند. لذا از تمام عزیزانی که در طول این دوران از محضرشان بهره مند شده‌ام سپاسگزاری می کنم.
از جناب آقای دکتر علیرضا فدایی که با رهنمودهایشان در انجام پایان نامه، راهنمای اینجانب بوده‌اند،
قدربار آقای دکتر حمید هاشم الحسینی که همواره با
همچنین از استاد بزرگوارم جناب آقای دکتر حمید هاشم الحسینی می کنم. از اساتید راهنماییهای ارزنده خود گره از مشکلات انجام این پایان نامه گشودند، تشکر و قدردانی می کنم. از اساتید ارجمند، آقایان دکتر بیژن برومند و دکتر سعید ضیایی راد که زحمت مطالعه و داوری این پایان نامه را قبول نمودند، کمال تشکر را دارم.

همچنین از جناب آقای مهندس فتوحی مدیر عامل محترم شرکت ارمند پژوه سپاهان به خاطر کلیه زحماتی که در طول انجام پژوه به ایشان داده ام، تشکر نموده و موفقیت روز افزون ایشان را از درگاه خداوند متعال تمنا دارم.

در انتها بر خود لازم از همکاری بی دریغ بخشاهای مختلف دانشکده مکانیک دانشگاه صنعتی اصفهان تشکر و سپاسگزاری نمایم.

کلیه حقوق مادی مترتب بر نتایج مطالعات،
ابتكارات و نوآوریهای ناشی از تحقیق موضوع
این پایان نامه (رساله) متعلق به دانشگاه صنعتی
اصفهان است.

تقدیم به

پدر عزیزم (زنده یاد محمد اسماعیل کریمی)

و

مادر مهر بانم

فهرست مطالب

<u>صفحه</u>	<u>عنوان</u>
هشت	فهرست مطالب.....
۱	چکیده.....
۲	فصل اول : مقدمه.....
۳	۱- جایگاه فرآیند اکستروژن معکوس سرد.....
۳	۲- نگرشی بر تاریخچه فرآیند اکستروژن.....
۷	۳- محتوی فصلهای بعدی.....
۹	فصل دوم: آشنایی با روش اجزاء محدود غیر خطی.....
۹	۱- مقدمه.....
۱۰	۲- نقش پلاستیسیته در مسایل اجزاء محدود.....
۱۱	۳- سطح تسلیم.....
۱۲	۴- قانون جریان.....
۱۴	۵- کاربرد اجزاء محدود غیر خطی در مسایل شکل دهی.....
۱۶	۶- روش های تکرار.....
۱۶	۶-۱- روش نیوتون رافسون.....
۱۸	۶-۲- روش نیوتون رافسون اصلاح شده.....
۲۰	فصل سوم: تحلیل فرآیند شکل دهی گزون پین به روش اکستروژن سرد.....
۲۰	۱- مقدمه.....
۲۰	۲- حل یک مثال برای اثبات درستی نتایج نرم افزار ANSYS.....
۲۵	۳- روابط تئوری حاکم بر فرآیند اکستروژن معکوس.....
۲۵	۳-۱- محاسبه فشار بر اساس تئوری پایه پلاستیسیته (روش دیر).....
۲۷	۳-۲- رابطه تجربی اسکافمن.....
۲۹	۴- معرفی مراحل شکل دهی گزون پین.....
۳۰	۵- فرضیات و خصوصیات بکار گرفته شده در تحلیلهای.....
۳۰	۵-۱- خواص مکانیکی ماده.....
۳۲	۵-۲- مشخصات کلی مدلهای اجزاء محدود.....
۳۲	۵-۳- مشخصات کلی مدلهای اجزاء محدود.....

۳۳ ۶-۳- مرحله نخست شکل دهی.
۳۹ ۷-۳- مرحله دوم شکل دهی.
۴۶ ۸-۳- مرحله سوم شکل دهی.
۵۰ فصل چهارم: تحلیل خستگی قالب‌های اکستروژن سرد.
۵۰ ۱-۴- مقدمه.
۵۰ ۲-۴- محاسبه فشار تماس در مجموعه دو استوانه جازده شده فشاری.
۵۳ ۳-۴- چگونگی تحلیل خستگی.
۵۳ ۴-۳-۱- استخراج نمردار (S-N).
۵۵ ۴-۳-۴- تعیین ماکریسم تنش خستگی زا در هر قطعه با استفاده از معیار اصلاح شده گودمن.
۵۷ ۴-۴- حل یک مثال برای اثبات درستی نتایج بدست آمده از نرم افزار.
۵۷ ۴-۴-۱- حل مساله با استفاده از روابط الاستیسیته.
۵۸ ۴-۴-۲- حل مساله به روش اجزاء محدود.
۶۱ ۴-۵-۱- تحلیل قالب‌های فرآیند تولید گزن پین به روش اجزاء محدود.
۶۱ ۴-۵-۲- تحلیل قالب مرحله نخست شکل دهی.
۶۲ ۴-۵-۳- تحلیل خستگی قالب‌های مرحله نخست شکل دهی گزن پین.
۶۵ ۴-۵-۴- تحلیل قالب مرحله دوم شکل دهی گزن پین.
۶۷ ۴-۵-۵- تحلیل قالب مرحله دوم شکل دهی به روش اجزاء محدود.
۶۸ ۴-۵-۶- تحلیل خستگی قالب مرحله دوم شکل دهی.
۷۰ ۴-۵-۷- تحلیل قالب مرحله سوم شکل دهی.
۷۱ ۴-۵-۸- تحلیل خستگی قالب‌های مرحله سوم شکل دهی.
۷۳
۷۵ فصل پنجم: تحلیل نش سنبه های مرافق شکل دهی گزن پین و بررسی خستگی آنها.
۷۵ ۱-۵- مقدمه.
۷۵ ۲-۵- تحلیل سنبه مرحله اول شکل دهی گزن پین.
۷۶ ۳-۵- فرضیات و خصوصیات انجام شده برای تحلیل سنبه ها.
۷۸ ۴-۵- تحلیل سنبه مرحله دوم شکل دهی گزن پین.
۸۱ ۵-۵- تحلیل سنبه مرحله سوم شکل دهی گزن پین.
۸۳ ۶-۵- اطلاعات موجود از سنبه شکسته شده.
۸۴ ۷-۵- تحلیل سنبه مرحله دوم در حالت کشش به روش اجزاء محدود.
۸۴ ۷-۱- مشخصات سنبه شبیه سازی شده در نرم افزار در حالت کشش.
۸۵ ۷-۲- شبکه بنده مسئله.
۸۶ ۷-۳- بررسی نتایج حاصل از تحلیل سنبه در حالت کشش.

۸۶	۸-۵- تحلیل خستگی
۹۰	فصل ششم: نتیجه گیری و پیشنهادات
۹۰	۱-۶- جمع بندی کلی نتایج
۹۲	۲-۶- پیشنهادات
۹۳	پیوست ها
۹۳	پیوست (الف)
۹۶	پیوست (ب)
۱۰۶	مراجع

فهرست اشکال

<u>صفحه</u>	<u>شكل</u>
۵	شكل ۱-۱- انواع قطعات تولید شده به کمک فرآیند اکسیروزن.....
۱۱	شكل ۲-۱- مدل‌های غیر خطی تنش کرنش در مواد مختلف.....
۱۲	شكل ۲-۲- نمایش سطح تسیلیم و جهت عمود بر آن در فضای دوبعدی تنش.....
۶۷	شكل ۲-۳- نمایش روش نیوتون رافسون.....
۶۸	شكل ۴-۲- نمایش روش نیوتون رافسون اصلاح شده.....
۴۱	شكل ۳-۱- ابعاد سطح مقطع ماده اولیه و محصول در یک فرآیند اکسیروزن معکوس (بر حسب میلیمتر).....
۴۲	شكل ۳-۲- منحنی رفتار تنش-کرنش فولاد در حالت الاستیک پلاستیک کامل.....
۴۳	شكل ۳-۳- مدل شبکه بندی شده ماده اولیه یک فرآیند اکسیروزن معکوس در نرم افزار ANSYS.....
۳۳	شكل ۴-۳- توزیع تنش فون میز در انتهای فرآیند شکل دهی در: الف-مدل اول، ب-مدل دوم رفتار ماده.....
۳۴	شكل ۵-۳- تغیرات نیروی سببه بر حسب میزان جابجایی سببه در مدل اول رفتار ماده.....
۳۴	شكل ۶-۳- تغیرات نیروی سببه بر حسب میزان جابجایی سببه در مدل دوم رفتار ماده.....
۲۵	شكل ۷-۳- مدل فرآیند اکسیروزن معکوس مورد استفاده در روش دپر.....
۲۹	شكل ۸-۳- نمایش شماتیک ماده خام و محصول نهایی گزن پین.....
۳۱	شكل ۹-۳- منحنی تنش کرنش واقعی فولاد 1.7262.....
۳۲	شكل ۱۰-۳- شماتیک مدل اصطکاکی مورد استفاده در نرم افزار ANSYS در مسایل غیرخطی.....
۳۳	شكل ۱۱-۳- ابعاد ماده خام و محصول مرحله اول شکل دهی گزن پین (ابعاد بر حسب میلیمتر).....
۳۴	شكل ۱۲-۳- ابعاد مدل ماده خام مرحله اول در نرم افزار ANSYS (ابعاد بر حسب میلیمتر).....
۳۵	شكل ۱۳-۳- نحوه شبکه بندی مدل مرحله اول شکل دهی.....
۳۵	شكل ۱۴-۳- شماتیک بارگذاری بر روی اجزاء مختلف مرحله اول شکل دهی.....
۳۶	شكل ۱۵-۳- شکل نهایی ماده پس از تغییر شکل در مرحله اول شکل دهی.....
۳۷	شكل ۱۶-۳- نحوه تغییر شکل ماده در جهت ۷ در مرحله اول شکل دهی.....
۳۷	شكل ۱۷-۳- توزیع تنش فون میز درون ماده در انتهای مرحله اول شکل دهی.....
۳۸	شكل ۱۸-۳- توزیع کرنش فون میز درون ماده در انتهای مرحله اول شکل دهی.....
۳۹	شكل ۱۹-۳- نمودار تغییرات نیروی سببه بر حسب میزان پیشروی آن در مرحله اول شکل دهی.....
۳۹	شكل ۲۰-۳- ابعاد ماده خام و محصول در مرحله دوم شکل دهی گزن پین (ابعاد بر حسب میلیمتر).....
۴۰	شكل ۲۱-۳- نحوه شبکه بندی مدل مرحله دوم شکل دهی.....
۴۱	شكل ۲۲-۳- شماتیک بارگذاری بر روی اجزاء مختلف مرحله دوم شکل دهی.....
۴۲	شكل ۲۳-۳- توزیع تنش فون میز درون ماده در انتهای مرحله دوم شکل دهی.....
۴۲	شكل ۲۴-۳- توزیع کرنش فون میز درون ماده در انتهای مرحله دوم شکل دهی.....

۴۳ شکل ۲۵-۳- نمودار تغییرات نیروی سبه بر حسب میزان پیش روی آن در مرحله دوم شکل دهی
۴۴ شکل ۲۶-۳- شماتیک شبکه بندی جدبد مدل اجزاء محدود مرحله دوم شکل دهی
۴۵ شکل ۲۷-۳- نمودار تغییرات نیروی سبه بر حسب میزان پیش روی آن در مرحله دوم شکل دهی در شبکه جدید
۴۵ شکل ۲۸-۳- توزیع تنش فون میز درون ماده در انتهای مرحله دوم شکل دهی در شبکه جدید
۴۶ شکل ۲۹-۳- ابعاد ماده خام و محصول در مرحله دوم شکل دهی گزین پین (بر حسب میلیمتر)
۴۷ شکل ۳۰-۳- شماتیک شبکه بندی مدل اجزاء محدود مرحله سوم شکل دهی
۴۸ شکل ۳۱-۳- توزیع تنش فون میز درون ماده در انتهای مرحله سوم شکل دهی
۴۸ شکل ۳۲-۳- توزیع کرنش فون میز درون ماده در انتهای مرحله سوم شکل دهی
۴۹ شکل ۳۳-۳- نمودار تغییرات نیروی سبه بر حسب میزان پیش روی آن در مرحله سوم شکل دهی
۵۱ شکل ۴-۱- شماتیک دو استوانه جازده شده فشاری به همراه ابعاد آن
۵۶ شکل ۴-۲- نمودار نشان دهنده معیار گسیختگی گودمن اصلاح شده
۵۹ شکل ۴-۳- مدل شبکه بندی شده برای تحلیل دو استوانه جازده شده فشاری
۶۰ شکل ۴-۴- توزیع تنش شعاعی در مجموعه دو استوانه جازده شده فشاری
۶۰ شکل ۴-۵- توزیع تنش محیطی در مجموعه دو استوانه جازده شده فشاری
۶۱ شکل ۴-۶- توزیع تنش در استوانه های جازده شده بر اساس تئوری الاستیستیته
۶۳ شکل ۴-۷- مجموعه قالب مرحله اول شکل دهی گزین پین و ابعاد آن (ابعاد بر حسب میلیمتر)
۶۴ شکل ۴-۸- مدل شبکه بندی شده قالب مرحله اول شکل دهی گزین پین و چگونگی بارگذاری بر روی آن
۶۴ شکل ۴-۹- توزیع تنش در مجموعه قالب مرحله اول شکل دهی گزین پین: الف-تنش محیطی، ب-تنش شعاعی
۶۵ شکل ۴-۱۰- توزیع تنش فون میز در مجموعه قالب مرحله اول شکل دهی گزین پین
۶۷ شکل ۴-۱۱- مجموعه قالب مرحله دوم شکل دهی گزین پین و ابعاد آن (ابعاد بر حسب میلیمتر)
۶۹ شکل ۴-۱۲- مدل شبکه بندی شده قالب مرحله دوم شکل دهی گزین پین
۶۹ شکل ۴-۱۳- توزیع تنش فون میز در مجموعه قالب مرحله دوم: الف-پس از بارگذاری، ب-پیش از بارگذاری
۷۱ شکل ۴-۱۴- مجموعه قالب مرحله سوم شکل دهی گزین پین و ابعاد آن (ابعاد بر حسب میلیمتر)
۷۲ شکل ۴-۱۵- مدل شبکه بندی شده قالب مرحله سوم شکل دهی گزین پین
۷۲ شکل ۴-۱۶- توزیع تنش فون میز در مجموعه قالب مرحله سوم: الف-پس از بارگذاری، ب-پیش از بارگذاری
۷۶ شکل ۴-۱- ابعاد سبه مرحله اول شکل دهی گزین پین (ابعاد بر حسب میلیمتر)
۷۷ شکل ۴-۲- مدل شبکه بندی شده مجموعه سبه، ماده و قالب مرحله اول شکل دهی گزین پین
۷۸ شکل ۴-۳- توزیع تنش فون میز در مقاطع A و B سبه مرحله اول شکل دهی گزین پین
۷۸ شکل ۴-۴- ابعاد سبه مرحله دوم شکل دهی گزین پین
۷۹ شکل ۴-۵- مدل شبکه بندی شده مجموعه سبه، ماده و قالب مرحله دوم شکل دهی گزین پین
۸۰ شکل ۴-۶- توزیع تنش فون میز در مقاطع A و B سبه مرحله دوم
۸۱ شکل ۴-۷- ابعاد سبه مرحله سوم شکل دهی گزین پین (ابعاد بر حسب میلیمتر)
۸۲ شکل ۴-۸- مدل شبکه بندی شده مجموعه سبه، ماده و قالب مرحله سوم شکل دهی گزین پین
۸۲ شکل ۴-۹- توزیع تنش فون میز در مقاطع A و B سبه مرحله سوم

- شکل ۱۰-۵- شبکه بندی سنبه مرحله دوم شکل دهی گزن پین برای تحلیل کششی.....
شکل ۱۱-۵- توزیع تنش فون میز در مقطع تغیر قطر سنبه در حالت کشش.....

فهرست جداول

<u>صفحه</u>	<u>جدول</u>
۲۱	جدول ۳-۱- مقادیر تنش- کرنش بیست نقطه بالای تسیم فولاد 16MnCr5
۲۸	جدول ۳-۲- مفادیر مختلف K برای انواع فلزات
۳۱	جدول ۳-۳- مقادیر عددی تنش و کرنش بدست آمده از آزمایش کشش بر روی فولاد 1.7262
۶۳	جدول ۴-۱- مشخصات مکانیکی قالب مرحله اول شکل دهی گزن پین
۶۸	جدول ۴-۲- مشخصات مکانیکی مجموعه قالب مرحله دوم شکل دهی گزن پین
۷۴	جدول ۴-۳- عمر مجموعه قالبهای مراحل مختلف شکل دهی گزن پین

صریز اطلاعات مارک صنعتی
تمثیله مارک

چکیده

اکستروژن سرد یکی از مهمترین فرآیندهای شکل دهی محسوب می شود که به دلایل مختلفی از جمله کیفیت سطح خوب محصول، بهبود خواص مکانیکی ماده تغییر شکل دهنده و ... کاربرد وسیعی در ساخت قطعات مختلف دارد. به علت اینکه هزینه طراحی ساخت قالب‌های این فرآیند درصد قابل توجهی از تولید را به خود اختصاص می دهد، لذا بررسی و پیش‌بینی عمر مجموعه قالب‌های این فرآیند از اهمیت قابل توجهی برخوردار می باشد.

در این پایان نامه، در ابتدا با استفاده از روش اجزاء محدود و توسط نرم افزار ANSYS به تحلیل فرآیند شکل دهی گزن پین اتمیل پرابد که با استفاده از فرآیند اکستروژن معکوس سرد تولید می گردد، پرداخته شده است. سپس عمر خستگی قالبها با استفاده از نوریهای خستگی موجود در منابع و کتابهای طراحی اجزاء موجود تعیین شده است و در ادامه پس از بررسی توزیع تنش در سبه‌های مراحل مختلف شکل دهی گزن پین، به دلیل در دست بودن اطلاعات لازم در مورد سبه مرحله دوم شکل دهی، عمر خستگی سبه در مرحله مذکور بدست آمده است.

فصل اول

مقدمه

فرآیند اکستروژن^۱ یکی از مهمترین فرآیندهای شکل دهنده فلزات است که تاریخی نسبتاً قدیمی دارد. این فرآیند برای ساخت اجسام توخالی و لوله ها از سال ۱۸۸۶ بعنوان یک فرآیند شکل دهنی شناخته گردید و مورد استفاده واقع شد. گفته می شود این فرآیند اولین بار در فرانسه ابداع گردیده است. امروزه فرآیند اکستروژن سرد به دلایل مختلفی از جمله موارد زیر در صنایع مختلف شکل دهنی بسیار مورد توجه قرار گرفته است:

- ۱- نبود خواص مکانیکی ماده تغییر شکل دهنده به واسطه پدیده کرنش سختی^۲ که در حین انجام عمل شکل دهنی سرد در ماده صورت می گیرد.
 - ۲- کیفیت بسیار خوب محصولات از جهت تولرانسها وابعاد و در نتیجه انجام ماشینکاری کمتر.
 - ۳- ایجاد سطوح با کیفیت در صورتیکه فرآیند روانکاری به خوبی صورت گیرد.
 - ۴- عدم وجود لایه های اکسید بر روی سطح محصول پس از انجام فرآیند.
 - ۵- نرخ بالای تولید با صرف هزینه نسبتاً کم.
- معمولاً در فرآیند های شکل دهنی سرد تنشهای ایجاد شده بر روی سنبه زیاد می باشد و به همین علت در این نوع فرآیند شکل دهنی، سنبه و قالبهای پر استحکام مورد نیاز می باشد.

1.Extrusion

2.Strain Hardening